

# CABRI II PLUS



Innowacyjne narzędzie matematyczne

**DLA ZAAWANSOWANYCH**

## WITAJ !

Witaj w części podręcznika programu Geometria Cabri przeznaczonej dla zaawansowanych użytkowników.

Część ta, składająca się z 3 rozdziałów, prezentuje kilka trudniejszych zadań, których rozwiązanie przy użyciu programu Geometria Cabri będzie bardzo proste i przyjemne. Zadania te uzupełniają część podręcznika **Samouczek**, która jest przeznaczona dla użytkowników pragnących w większym stopniu zgłębić tajniki programu Geometria Cabri.

Ćwiczenia te są przeznaczone dla osób na poziomie zaawansowanym lub studentów. W większości są niezależne od siebie. Zachęcamy czytelnika do odtwarzania opisywanych metod konstrukcji i wykonywania proponowanych ćwiczeń. Ćwiczenia trudniejsze oznaczone zostały gwiazdką.

©2007 CABRILOG SAS

**Podręcznik Cabri II Plus:**

**Autor:** Sandra Hoath and Chartwell Yorke

**Tłumaczenie:** Bronisław Pabich, Maciej Marczewski, Agnieszka Nowakowska

**Uaktualnienie:** 11 lipca 2007

**Nowe wersje:** [www.cabri.com](http://www.cabri.com)

**Zgłaszanie błędów:** [support@cabri.com](mailto:support@cabri.com)

**Projekt graficzny, układ stron, korekta:** Cabrilog

## SPIS TRESCI

ROZDZIAŁ: 1 – TRÓJKĄTY SPODKOWE	S 4
ROZDZIAŁ: 2 - FUNKCJE	S 9
ROZDZIAŁ: 3 - TESELACJE	S 14

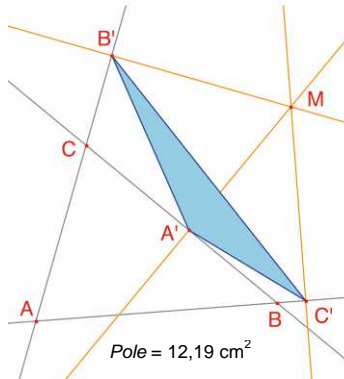
## TRÓJKĄTY SPODKOWE

Za pomocą narzędzia [Punkty]Punkt narysuj na początek trzy punkty  $A, B, C$ , w dowolnym miejscu obszaru rysowania. Następnie skonstruuj linie proste  $AB, BC$  i  $CA$ , za pomocą narzędzia [Linie]Prosta. Utwórz gdziekolwiek czwarty punkt  $M$ , oraz rzuty prostopadłe punktu  $M$ :  $C', A'$  i  $B'$ , na odpowiednich prostych. Punkty te konstruuje się tworząc proste prostopadłe do każdej z wymienionych wyżej prostych przechodzące przez punkt  $M$  używając w tym celu narzędzia [Konstrukcje]Prosta prostopadła. By zaznaczyć punkty przecięcia każdej prostej prostopadłej z odpowiadającą jej prostą użyj narzędzia [Punkty]Punkt. Narzędzie [Punkty]Punkt wykreśla punkty przecięcia dwóch obiektów w sposób pośredni. Wystarczy zbliżyć kursor do punktu przecięcia, dopóki program Geometria Cabri nie wyświetli informacji Punkt tego przecięcia lub w przypadku trudności z określeniem, które obiekty się przecinają, informację Przecięcie... i menu, z którego można wybrać te obiekty.

Trzy punkty  $A', B'$  i  $C'$  definiują trójkąt, który można wykreślić za pomocą narzędzia [Linie]Trójkąt. Nazywa się go trójkątem spodkowym trójkąta  $ABC$ . Wnętrze tego trójkąta może zostać pokolorowane przy użyciu narzędzia [Atrybuty obiektów]Wypełnij... . Obiektem zainteresowania w tym przypadku jest pole tego trójkąta w zależności od położenia punktu  $M$ . Pole trójkąta mierzy się za pomocą narzędzia [Mierzenie]Pole. Wynikiem tego pomiaru jest arytmetyczna wartość pola powierzchni, nie mająca związku z ustawieniem trójkąta.

Wynik jest przedstawiony w  $\text{cm}^2$ , można go umieścić w dowolnym miejscu obszaru rysowania. Klikając na liczbę prawym przyciskiem myszy uaktywnimy menu skrótowe, które zawiera opcję zmiany wartości pola na wartość algebraiczną, znak której zależy od ustawienia trójkąta.

Rozpatrzmy teraz w jaki sposób zmienia się pole trójkąta  $A'B'C'$  w zależności od położenia punktu  $M$ . Istnieje kilka sposobów osiągnięcia tego. Na przykład, uruchom narzędzie [Tekst i Symbole]Ślad włączony / wyłączony (które wymaga wybrania obiektów, dla których śledzenie to ma zostać włączone, w tym przypadku punktu  $M$ , więc kliknij na niego). Następnie przesuń punkt  $M$  próbując utrzymać stałą wielkość pola trójkąta  $A'B'C'$ .

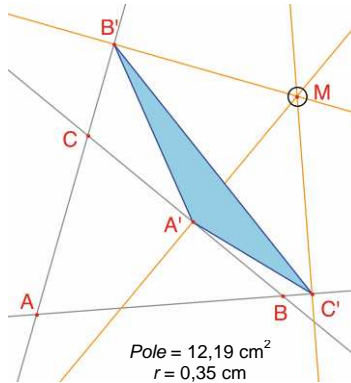


**Rysunek 1.1** – Trójkąt spodkowy dla punktu  $M$  oraz jego pole powierzchni.

Następujące po sobie pozycje punktu  $M$  wyświetlane są na ekranie, dając ogólny wygląd linii, dla której wielkości pola trójkąta  $A'B'C'$  są takie same. Innym sposobem może być wykorzystanie miejsca geometrycznego punktów na siatce w celu wykreślenia graficznej prezentacji pola trójkąta  $A'B'C'$  dla dużej liczby pozycji punktu  $M$ .

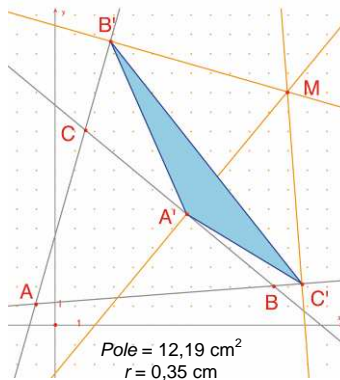
Tutaj skorzystamy z tej właśnie metody i narysujemy koło o środku w punkcie  $M$ , którego pole powierzchni dla bardzo dużej ilości pozycji punktu  $M$  jest proporcjonalne do pola trójkąta  $A'B'C'$ . By to uczynić, konieczne jest obliczenie długości promienia koła, proporcjonalnej do pierwiastka kwadratowego pola trójkąta. Uruchom narzędzie **[Mierzenie]Kalkulator** i wpisz w jego oknie wyrażenie **sqrt** (a następnie zaznacz liczbę, która wskazuje pole trójkąta) by wstawić je do wyrażenia, które przyjmuje postać **sqrt(a)**. Zamknij prawy nawias. Podziel wyrażenie przez 10 by uniknąć otrzymania zbyt dużego koła.

Wyrażenie w kalkulatorze ma teraz postać **sqrt(a)/10**. Oblicz jego wartość klikając na przycisk **=**, a następnie przenieś otrzymany wynik w odpowiednie miejsce obszaru rysowania. By wykreślić okrąg o środku  $M$  i promieniu, który właśnie został obliczony, użyj narzędzia **[Konstrukcje]Cyrkiel**. Wybierz liczbę, która została naniesiona na obszar rysowania, a następnie punkt  $M$ . Wykreślony zostanie okrąg o środku w punkcie  $M$  z zadaną długością promienia. Możesz łatwo zobaczyć, jak zmienia się pole koła o środku  $M$ , w miarę przemieszczania tego punktu.



**Rysunek 1.2** – Wykreślone koło o środku w punkcie  $M$ , którego pole powierzchni jest proporcjonalne do pola trójkąta  $A'B'C'$ .

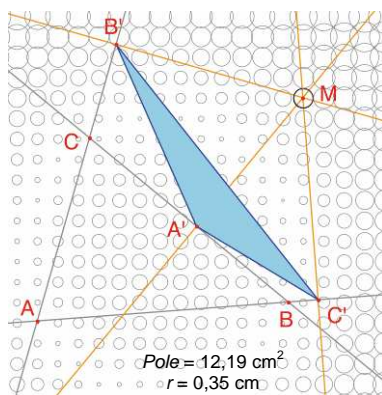
Określmy teraz punkty kratowe oraz przeddefiniujemy punkt  $M$  względem tych punktów, a następnie wykreślmy koła przedstawiające pole trójkąta spodkowego w każdym punkcie kratowym. Do zdefiniowania punktów kratowych wymagane jest istnienie układu współrzędnych. Skorzystamy z domyślnych osi, dostępnych dla każdej figury. By je wyświetlić wybierz [Atrybuty obiektów]Pokaż osie.



**Rysunek 1.3** – Konstruowanie punktów kratowych z użyciem domyślnych osi. Punkt  $M$  jest następnie przeddefiniowany jako jeden z punktów kratowych. Następnie uruchom narzędzie [Atrybuty obiektów]Punkty kratowe i wybierz osie. W obszarze rysowania zostaną wyświetlone punkty kratowe.

Punkt  $M$  jest w dalszym ciągu niezależnym, ruchomym punktem; przeddefiniujemy go teraz tak, by ograniczyć go do punktów kratowych. Uruchom narzędzie [Konstrukcje]Przeddefiniowanie obiektu, a następnie wybierz punkt  $M$ . Wybierz opcję Punkt na obiekcie z wyświetlonej listy i dowolny punkt kratowy. Punkt  $M$  jest teraz ograniczony do punktów kratowych.

Można teraz skorzystać z narzędzia [Konstrukcje]Miejsce geometryczne, by skonstruować zbiór kół otrzymany w wyniku przemieszczania punktu  $M$  po punktach kratowych. Wybierz najpierw koło, a następnie punkt  $M$ , by otrzymać miejsce geometryczne kół w miarę przemieszczania punktu  $M$  przez punkty kratowe.



Rysunek 1.4 – Rozkład pola powierzchni trójkąta spodkowego jako funkcji położenia punktu  $M$ .

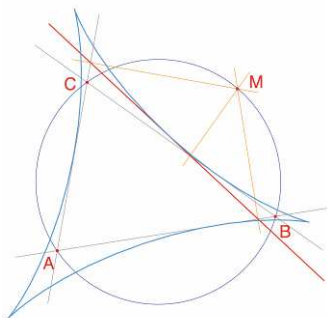
Można pokazać (zobacz na przykład *Geometry Revisited*, autorstwa *H.M.S. Coxeter'a* i *S.L. Greitzer'a*, *Mathematical Association of America*, podpunkt 1.9), że kontury linii, dla których pola trójkątów spodkowych są równe są kołami o środku takim samym jak środek okręgu opisanego na trójkącie  $ABC$ . W szczególnym przypadku pole trójkąta  $A'B'C'$  wynosi zero, wtedy, gdy punkt  $M$  leży na okręgu opisanym na trójkącie  $ABC$  lub równoważnie, punkty  $A'$ ,  $B'$  i  $C'$  są współliniowe wtedy i tylko wtedy, gdy punkt  $M$  leży na okręgu opisanym na trójkącie  $ABC$ .

**Ćwiczenie 1** – Gdy punkt  $M$  leży na okręgu opisanym na trójkącie  $ABC$ , punkty  $A'$ ,  $B'$  i  $C'$  są współliniowe a linia  $A'B'C'$  nazywana jest linią Simsona, (lub linią Wallace'a – linia ta została nieprawidłowo przypisana Simsonowi, jako że została odkryta w roku 1799 przez Wallace'a). Skonstruuj obwiednię linii Simsona. (Skorzystaj z narzędzia [Konstrukcje]Miejsce geometryczne). Krzywa ta, niezmienna przy obrocie o  $120^\circ$ , nazywana jest deltoidem (albo hipocykloidą Steiner'a), ponieważ jej kształt przypomina grecką literę delta ( $\Delta$ ).

Jest ona styczną do trzech linii  $AB$ ,  $BC$  i  $CA$ , krzywą algebraiczną czwartego stopnia. Możesz sprawdzić jej równanie,

korzystając z narzędzia [Mierzenie]Równanie i współrzędne.

**Ćwiczenie 2\*** – Dla deltoidu z poprzedniego ćwiczenia skonstruuj środek, trzy punkty, gdzie krzywa styka się z trzema liniami prostymi oraz największy okrąg, który może być wpisany w krzywą.



**Rysunek 1.5** – Obwiednia linii Simsona dla trójkąta  $ABC$  nazywana jest deltoidem. Posiada on te same symetrie co trójkąt równoboczny.

*Robert Simson,*  
1687-1768

*William Wallace,*  
1768-1843

*Jakob Steiner,*  
1796-1863

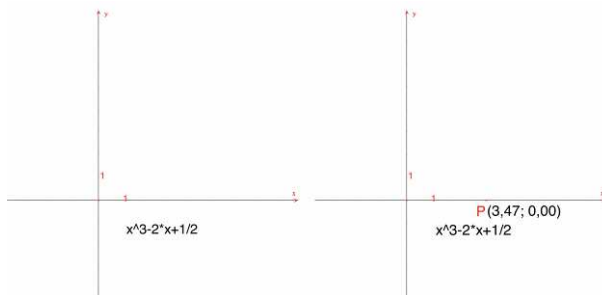


## FUNKCJE

Wykresy funkcji w programie Geometria Cabri konstruuje się w bardzo prosty sposób, dzięki zastosowaniu układu współrzędnych oraz narzędzia służącego definiowaniu wyrażeń. Wykres może posłużyć do badania własności funkcji. W niniejszym rozdziale zbadamy wielomian stopnia 3.

$$f(x) = x^3 - 2x + \frac{1}{2}$$

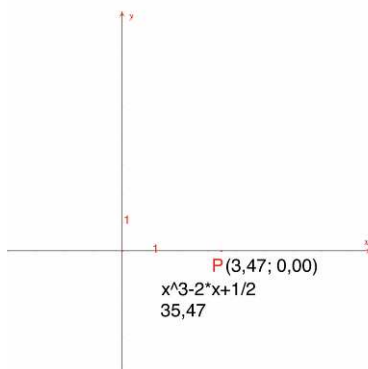
W pierwszej kolejności wyświetlimy układ współrzędnych za pomocą narzędzia [Atrybuty obiektów]Pokaż osie. Następnie musimy utworzyć odpowiednie wyrażenie w obszarze rysowania. Gdy wyrażenie zostanie już tam umieszczone, jego wartość można obliczyć dla różnych wielkości zmiennych. Dla wyżej podanej funkcji uruchom narzędzie [Tekst i Symbole]Wyrażenie i wpisz  $x^3 - 2x + 1/2$ . Nazwami dozwolonymi dla zmiennych są litery: *a, b, c... z*.



**Rysunek 2.1** - [Z lewej]. Wprowadzanie wyrażenia opisującego funkcję. [Z prawej]. Punkt  $P$  jest zaznaczony na osi  $ox$ , a jego współrzędne wyświetlone za pomocą narzędzia [Mierzenie]Równanie i współrzędne.

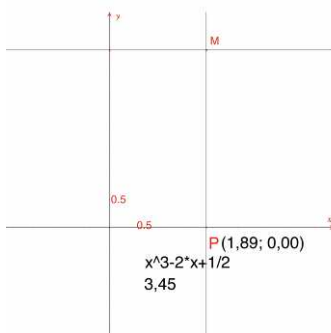
Zaznacz punkt  $P$  gdziekolwiek na osi  $ox$  (używając narzędzia [Punkty]Punkt). Wyświetl jego współrzędne uruchamiając narzędzie [Mierzenie]Równanie i współrzędne, a następnie klikając na punkt  $P$ . Tekst mówiący o współrzędnych jest początkowo przyczepiony do punktu  $P$  i razem z tym punktem się porusza. Za pomocą narzędzia [Manipulacja]Wskaźnik, współrzędne można odczepić od punktu  $P$  i umieścić w dowolnym miejscu. By z powrotem przyczepić je do punktu, kliknij i przenieś je w pobliżu punktu  $P$ .

Idąc dalej, potrzebować będziemy wartości  $f(x)$ , gdzie  $x$  jest odciętą punktu  $P$ . Uruchom narzędzie [Mierzenie]Przypisz do wyrażenia, kliknij na wyrażenie, a następnie odciętą punktu  $P$  w nawiasie. Kolejność działań jest istotna.



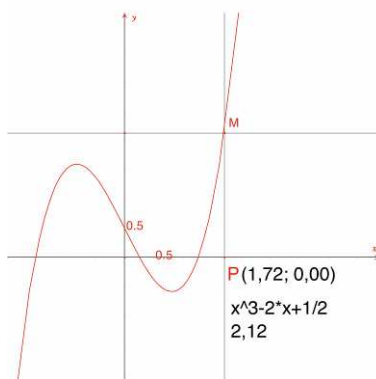
**Rysunek 2.2** – Narzędzie [Mierzenie]Przypisz do wyrażenia jest użyte w celu obliczenia wartości  $f(x)$  dla odciętej punktu  $P$ .

Wartość tę przenosimy na oś  $oy$ , za pomocą narzędzia [Konstrukcje]Przeniesienie miary, a następnie wybieramy tę wartość na osi  $oy$ . Po uczynieniu tego wystarczy poprowadzić proste równoległe do każdej z osi, przechodzące przez obydwa zaznaczone punkty, za pomocą narzędzia [Konstrukcje]Prosta równoległa. Ich punkt przecięcia można oznaczyć jako  $M$ , a jego współrzędne to  $(x, f(x))$ . Na poniższym rysunku punkt  $P$  został przemieszczony bliżej początku układu współrzędnych  $(1,89; 0)$  tak, żeby punkt  $M$  był widoczny.



**Rysunek 2.3** – Konstruowanie punktu  $M(x, f(x))$  za pomocą przeniesienia miary.

Wykres funkcji uzyskujemy w wyniku przemieszczenia się miejsca geometrycznego punktu  $M$  w miarę jak punkt  $P$  przemieszcza się wzdłuż osi  $ox$ . Konstruujemy je używając narzędzia [Konstrukcje]Miejsce geometryczne wybierając najpierw punkt  $M$ , potem  $P$ . By przyjrzeć się części wykresu, która nas interesuje, można przesunąć początek układu współrzędnych (przenosząc i upuszczając go w nowym położeniu) i zmienić skalę (przenosząc i upuszczając dowolny punkt na osi wyznaczający jednostkę).



**Rysunek 2.4** – Tworzenie wykresu funkcji ukończone przy użyciu narzędzia [Konstrukcje]Miejsce geometryczne. Układ współrzędnych może zostać przeniesiony i przeskalowany by ułatwić analizę wybranego obszaru wykresu. Skonstruujemy teraz przybliżoną styczną do tej krzywej w zadanym punkcie. Dla małych wartości  $h$ , wiadomo, że

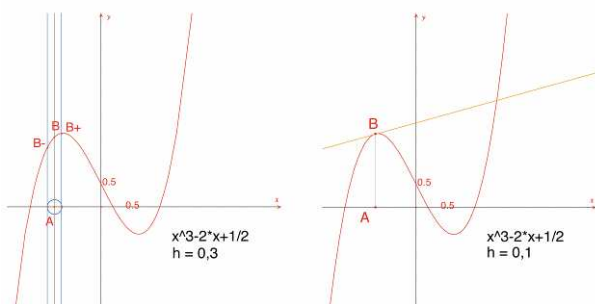
$$f'(x) \approx \frac{f(x+h) - f(x-h)}{2h}$$

Z geometrycznego punktu widzenia, przybliżenie to sprowadza współczynnik kierunkowy stycznej do współczynnika kierunkowego cięciwy łączącej punkty na krzywej, których odcięte wynoszą  $x - h$  oraz  $x + h$ . Używając narzędzia [Tekst i Symbole]Edytor numeryczny (pokrętko) określamy wartość  $h$ , w naszym przypadku 0,3 by ułatwić konstrukcję. Wartość  $h$  można zmienić na mniejszą, by uzyskać lepsze przybliżenie stycznej. Następnie skonstruuj punkt  $A$  na osi  $ox$ , okrąg o środku w punkcie  $A$  i promieniu  $h$ .

Okrąg uzyskujemy uruchamiając narzędzie [Konstrukcje]Cyrkiel, wybierając najpierw wartość  $h$ , następnie punkt  $A$ . Punkty przecięcia tych punktów z osią  $ox$  posiadają odcięte  $x - h$  i  $x + h$ , gdzie  $x$  jest rzędną punktu  $A$ . Wykreśl trzy proste równoległe do osi  $oy$  ([Konstrukcje]Prosta równoległa), które przechodzą przez dwa punkty przecięcia oraz punkt  $A$ .

Miejsca przecięcia tych trzech prostych z krzywą tworzą punkty  $B^-$ ,  $B$ ,  $B^+$ , które są punktami krzywej o odciętych odpowiednio  $x - h$ ,  $x$ ,  $x + h$ .

Ponieważ figura zaczyna tracić przejrzystość, ukryj te elementy, które nie są już używane. Uruchoom narzędzie [Atrybuty obiektów]Ukryj/Pokaż i wybierz elementy, które mają zostać ukryte. W tym wypadku, powinniśmy ukryć punkty  $P$ ,  $M$ , dwie linie konstrukcyjne tworzące punkt  $M$ , współrzędne punktu  $P$  oraz wartość funkcji w punkcie  $P$ . Ukryte obiekty są widoczne tylko jako pływające zaznaczenie (maszerujące mrówki) i widoczne są tylko wtedy, gdy aktywne jest narzędzie [Atrybuty obiektów]Ukryj/Pokaż. By uczynić ukryte obiekty z powrotem widocznymi wybierz je ponownie, gdy narzędzie jest aktywne.



**Rysunek 2.5** - [Z lewej]. Trzy punkty  $B^-$ ,  $B$ ,  $B^+$  są konstruowane na krzywej. [Z prawej]. Przybliżenie stycznej w punkcie  $B$ , gdy elementy konstrukcyjne zostały ukryte.

Przybliżeniem stycznej jest w tym wypadku prosta równoległa do prostej przechodzącej przez punkty  $B^-B^+$  przechodząca przez punkt  $B$ . Skonstruuj wyżej wymienioną prostą korzystając z narzędzia [Linie]Prosta, a następnie [Konstrukcje]Prosta prostopadła. Teraz możemy ukryć prostą przechodzącą przez punkty  $B^-B^+$ , jak również inne elementy konstrukcyjne tak, by zostały widoczne tylko  $h$ ,  $A$ ,  $B$  oraz *styczna*. Widoczne jest, że wartość  $h = 0,3$  już w tym momencie daje bardzo dobre przybliżenie stycznej. Mimo to, można je jeszcze poprawić, zmniejszając wartość  $h$ , do wartości, przykładowo,  $0,0001$ .

Przesuwając punkt  $A$  wzdłuż osi  $ox$ , można dostrzec położenie trzech pierwiastków równania  $f(x) = 0$ , punkt stacjonarny funkcji  $f$  oraz punkt przegięcia krzywej.

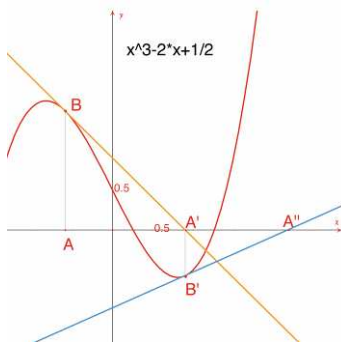
W kwestii formalnej, trzema rozwiązaniami równania  $f(x) = 0$  są w przybliżeniu  $r_1 = -1,52568$ ,  $r_2 = 0,25865$ , and  $r_3 = 1,26703$ . Odciętych punktów stacjonarnych są

$e_1 = -\sqrt{6}/3 \approx -0,81649$  and  $e_2 = \sqrt{6}/3 \approx 0,81649$   
 Punkt przecięcia ma współrzędne  $(0, 1/2)$ .

**Ćwiczenie 3** – Korzystając ze współczynnika kierunkowego stycznej, narysuj wykres przybliżający krzywą funkcji współczynnika kierunkowego.

**Ćwiczenie 4 \*** - Styczna przecina oś  $ox$  w punkcie  $A'$  o odciętej  $x'$ , która, ogólnie rzecz biorąc, jest lepszym przybliżeniem pierwiastka, zakładając, że  $A$  znajduje się w sąsiedztwie pierwiastka równania  $f(x) = 0$ . Stwierdzenie to jest punktem wyjścia metody iteracyjnej nazywanej metodą Newton'a - Raphson'a znajdowania pierwiastka równania. Skonstruuuj punkt  $A'$ , a następnie iteruj za pomocą tej metody punkt  $A'$  i przyrównaj położenie punktu  $A'$  do  $A$ . W szczególnym przypadku można odnaleźć dwie pozycje punktu  $A$ , różne od pierwiastków równania, dla których punkty  $A'$  i  $A$  pokrywają się.

Celem wyjaśnienia, istnieją dwa rzeczywiste pierwiastki wielomianu stopnia 6, których przybliżone wartości to  $-0,56293$  oraz  $0,73727$ . Można zauważyć, że złe dobranie punktów  $A$  (takie, że  $A'$  jest jednym z dwóch punktów, gdzie pochodna jest równa zero) może przyczynić się do tego, że wyniki metody będą bardzo odbiegały od rzeczywistości.



*Sir Isaac Newton,*  
1643-1727

*Joseph Raphson,*  
1648-1715

**Rysunek 2.6** – Dwie pierwsze iteracje metody Newton'a-Raphson'a rozpoczynając od punktu  $A$ .

**Uwaga:** ten sam wykres można otrzymać bezpośrednio, korzystając z narzędzia [Mierzenie]Przypisz do wyrażenia.

## TESELACJE

Skonstruujemy teraz kilka teselacji płaszczyzny, przy użyciu wielokątów. Zaczniemy od uproszczonej definicji, która wystarczy do dalszej pracy. Zainteresowanego czytelnika odsyłamy do książki "Tilings and Patterns" autorstwa Branko Grünbaum'a i G.C. Shepherd'a, wydawnictwo Freeman, 1987. Informacje na temat teselacji i grup symetrii można znaleźć również na wielu stronach internetowych.

Mówimy, że zbiór zamkniętych figur płaskich jest teselacją płaszczyzny, jeżeli ich części wewnętrzne nie nachodzą na siebie, a suma wszystkich części pokrywa w całości płaszczyznę. Te figury płaskie nazywane są kafłami teselacji. Miejsce przecięcia dwóch kafli, będące odcinkiem prostej lub krzywej nazywane jest krawędzią, natomiast punkt zetknięcia dwóch lub więcej kafli w jednym punkcie nazywany jest wierzchołkiem.

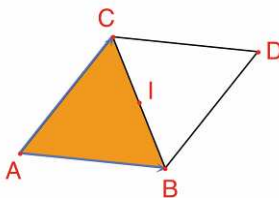
W przypadku teselacji  $P$ , piszemy  $S(P)$  dla zbioru izometrii  $f$  płaszczyzny takiej, że obraz każdego kafła teselacji  $P$  w izometrii  $f$  jest kafłem teselacji  $P$ .  $S(P)$  to grupa, nazywana grupą symetrii teselacji. Istnieje kilka przypadków, które trzeba rozpatrzyć analizując grupę symetrii:

- $S(P)$  nie zawiera żadnych przesunięć. Wtedy  $S(P)$  jest izomorficzna z grupą cykliczną (prawdopodobnie zredukowaną do pierwszego elementu) utworzoną przez obrót o  $2/n$  lub grupą, będącą grupą symetrii wielokąta foremego o  $n$  bokach.
- $S(P)$  zawiera przesunięcia współliniowe.  $S(P)$  jest wtedy izomorficzna do jednej z siedmiu grup fryzowych.
- $S(P)$  zawiera dwa wektory przesunięcia, które nie są współliniowe. Więc grupa  $S(P)$  jest izomorficzna z jedną z 17 regularnych teselacji powierzchni, kryjących całą płaszczyznę (lub grup krystalografii płaskiej), teselacja jest wtedy cykliczna.

Jeśli wszystkie kafle w teselacji mogą być otrzymane z pierwszego kafła, i są z nim izometryczne, to mówimy, że teselacja jest jednorodna. Tutaj interesujemy się tylko teselacjami jednorodnymi, które można otrzymać z wielokątów.

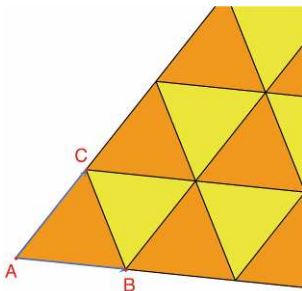
Na początek skonstruujemy teselację jednorodną płaszczyzny, złożoną z trójkątów.

Rozpoczniemy od konstrukcji trójkąta  $ABC$ , za pomocą narzędzia [Linie]Trójkąt, a następnie wyznaczmy środek  $I$ , jednego z jego boków, na przykład  $BC$  korzystając z narzędzia [Konstrukcje]Środek. Niech punkt  $D$  będzie obrazem punktu  $A$  powstałym przez półobrót dookoła punktu  $I$  (symetria środkowa). Tworzy się go za pomocą narzędzia [Przekształcenia]Symetria środkowa, wybierając najpierw obiekt, który ma zostać przekształcony: punkt  $A$ , a następnie środek symetrii  $I$ .



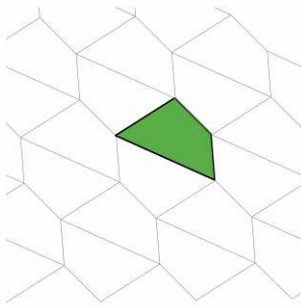
**Rysunek 3.1** – Tworzenie obrazu trójkąta  $ABC$  w obrocie o  $180^\circ$  dookoła środka jednego z jego boków (w tym wypadku  $BC$ ). W wyniku obrotu powstanie równoległobok  $ABDC$ .

Czworokąt  $ABDC$  jest równoległobokiem, którego możemy użyć do teselacji płaszczyzny. Tworzymy następnie dwa wektory  $AB$  i  $AC$  za pomocą narzędzia [Linie]Wektor. Wektorów tych użyjemy do powielenia trójkątów  $ABC$  i  $BCD$  za pomocą narzędzia [Przekształcenia]Przesunięcie.



**Rysunek 3.2** - Narzędzie [Przekształcenia]Przesunięcie jest użyte w celu utworzenia obrazów dwóch trójkątów powstałych w wyniku przesunięcia o wektory  $AB$  i  $AC$ .

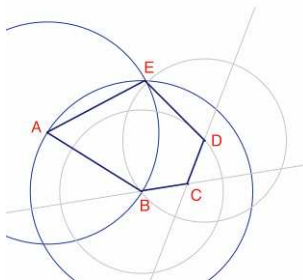
To samo podejście może zostać wykorzystane do teselacji płaszczyzny dowolnym czworokątem, wypukłym lub innym, którego boki nie przecinają się. Obraz czworokąta otrzymujemy przez jego obrót dookoła środka jednego z boków. Obrazem tym jest sześciokąt o bokach parami równoległych, który wykorzystujemy do teselacji płaszczyzny przez przesunięcia.



**Rysunek 3.3** – Ten sam typ konstrukcji wykorzystujemy do teselacji płaszczyzny przy pomocy dowolnego czworokąta, wypukłego lub wklęsłego, zakładając, że jego boki nie przecinają się.

W przypadku innych wielokątów wypukłych, sytuacja jest bardziej skomplikowana. Można dowieść, że niemożliwa jest teselacja płaszczyzny wielokątem wypukłym o więcej niż sześciu bokach. Istnieją trzy rodzaje sześciokątów wypukłych, za pomocą których można przeprowadzić teselację płaszczyzny i co najmniej 14 typów pięciokątów wypukłych z ograniczeniami co do ich kątów i boków. Na dzień dzisiejszy, nie wiadomo, czy te 14 typów daje pełne rozwiązanie problemu. Ostatni z 14 typów został odkryty w roku 1985. Kwestia wielokątów wklęsłych nie została do tej pory rozwiązana.

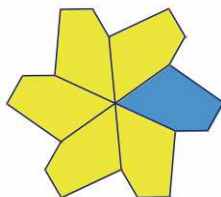
**Ćwiczenie 5** – Skonstruuj pięciokąt wypukły  $ABCDE$ , o następujących parametrach: kąt przy wierzchołku  $A$  równy  $60^\circ$ , przy  $C$  równy  $120^\circ$ ,  $AB = AE$ ,  $CB = CD$ . Te parametry nie opisują jednego pięciokąta, a całą ich rodzinę. W konstrukcji występują przynajmniej trzy niezależne punkty.



**Rysunek 3.4** – Konstrukcja pięciokąta o parametrach: kąt przy  $A = 60^\circ$ , kąt przy  $C = 120^\circ$ ,  $AB = AE$  i  $CB = BD$ .  $A$ ,  $B$  i  $C$  są niezależnymi punktami płaszczyzny.



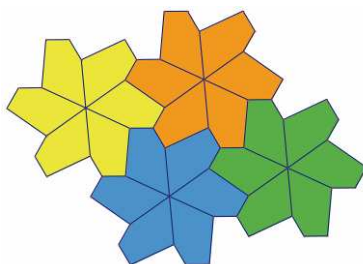
Wykonaj kolejno po sobie obroty o  $60^\circ$  dookoła punktu  $A$  za pomocą narzędzia [Przekształcenia]Obrót. Narzędzie to wymaga wybrania: przekształcanego obiektu, kąta oraz środka obrotu, by utworzyć kwiat o sześciu pięciokątnych płatkach. Kąt wymagany przez narzędzie to liczba znajdująca się w obszarze rysowania, utworzona wcześniej za pomocą narzędzia [Tekst i Symbole]Edytor numeryczny (pokreślto).



**Rysunek 3.5** – Wyjściowy pięciokąt powielony przez obrót dookoła punktu  $A$  o kąt  $60^\circ$ , by otrzymać kwiat o sześciu płatkach.

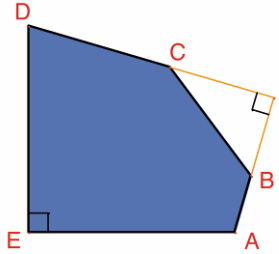
Kwiaty te można teraz zgrupować ze sobą za pomocą przesunięć, by przeprowadzić teselację płaszczyzny. Jest to teselacja typu 5 według klasyfikacji podanej w książce "Tilings and Patterns". Została po raz pierwszy opublikowana przez K. Reinhardt'a w roku 1918.

Teselacja ta jest jednorodna, czyli że wszystkie kafle są identyczne w izometrii.



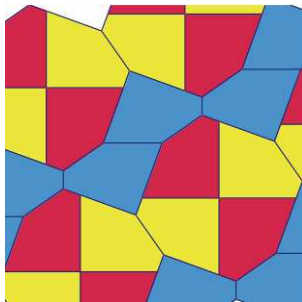
**Rysunek 3.6** – Kwiaty zgrupowane przez przesunięcia w celu pokrycia płaszczyzny.

**Ćwiczenie 6** – Skonstruuj pięciokąt  $ABCDE$  o następujących parametrach:  
 $E = 90^\circ$ ,  $A + D = 180^\circ$ ,  $2B - D = 180^\circ$ ,  $2C + D = 360^\circ$ ,  $EA = ED = AB + CD$ .



**Rysunek 3.7** – Pięciokąt 10 typu, zgodnie z klasyfikacją zawartą w książce “Tilings and Patterns”. Pięciokąt ten jest podstawą teselacji jednorodnej płaszczyzny. Punkty  $A$  i  $E$  są punktami niezależnymi płaszczyzny, punkt  $I$  porusza się swobodnie po łuku okręgu.

Teselacja jest tworzona przez utworzenie w pierwszej kolejności trzech kopii płytki, za pomocą następujących po sobie obrotów dookoła punktu  $E$  o kąt  $90^\circ$ . Otrzymujemy dzięki temu ścięty kwadrat. Następnie kwadraty te grupujemy w paski za pomocą przesunięcia w jednym kierunku. Paski kwadratów rozdzielamy następnie paskami pięciokątów, w sposób pokazany na poniższym rysunku.



**Rysunek 3.8** - Jednorodna teselacja płaszczyzny pięciokątami wypukłymi. Teselację tę stworzył Richard E. James III, została ona poprzedzona publikacją artykułu Martina Gardniera w czasopiśmie „Scientific American” w 1975 roku. Pełny tekst artykułu można znaleźć w książce „Time travel and other mathematical bewilderments”, autorstwa Martina Gardniera, wydawnictwo Freeman, 1987.